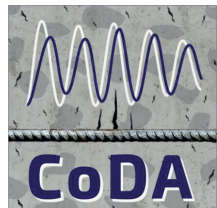


Felix Clauß

# Thermo-Mechanical Investigations of Reinforced Concrete Structures Using Coda Wave Interferometry



Concrete Damage  
Assessment by  
CODA Waves

Schriftenreihe des Instituts für  
Konstruktiven Ingenieurbau, Heft 2022-02

# **Thermo-Mechanical Investigations of Reinforced Concrete Structures Using Coda Wave Interferometry**

by

**Felix Clauß, M. Sc.**

**Ph.D. Thesis**

for the degree of

**Doctor of Engineering (Dr.-Ing.)**

**Faculty of Civil and Environmental Engineering  
Ruhr University Bochum**

Bochum, February 2022



Schriftenreihe des Instituts für Konstruktiven Ingenieurbau

Herausgeber:  
Geschäftsführender Direktor des  
Instituts für Konstruktiven Ingenieurbau  
Ruhr-Universität Bochum

Heft 2022-2

**Felix Clauß**

**Thermo-Mechanical Investigations of  
Reinforced Concrete Structures Using  
Coda Wave Interferometry**

Shaker Verlag  
Düren 2022

**Bibliografische Information der Deutschen Nationalbibliothek**

Die Deutsche Nationalbibliothek verzeichnet diese Publikation in der Deutschen Nationalbibliografie; detaillierte bibliografische Daten sind im Internet über <http://dnb.d-nb.de> abrufbar.

Zugl.: Bochum, Univ., Diss., 2022

Copyright Shaker Verlag 2022

Alle Rechte, auch das des auszugsweisen Nachdruckes, der auszugsweisen oder vollständigen Wiedergabe, der Speicherung in Datenverarbeitungsanlagen und der Übersetzung, vorbehalten.

Printed in Germany.

ISBN 978-3-8440-8698-0

ISSN 1614-4384

Shaker Verlag GmbH • Am Langen Graben 15a • 52353 Düren

Telefon: 02421 / 99 0 11 - 0 • Telefax: 02421 / 99 0 11 - 9

Internet: [www.shaker.de](http://www.shaker.de) • E-Mail: [info@shaker.de](mailto:info@shaker.de)

*You can't stop the waves, but you can learn to surf.*  
— JON KABAT-ZINN



---

# Abstract

---

Civil engineering structures are aging. Ultrasonic coda waves offer an auspicious opportunity to monitor this deterioration. Coda waves detect changes both sensitively and integrally over wide regions, rendering them suitable for monitoring entire structures. Current approaches with coda wave-based monitoring of concrete (structures) focus on specimens that are only a few centimeters small or on detecting cracks in reinforced concrete. The empirical model introduced in this thesis enables evaluating the load-bearing capacity of reinforced concrete structures subjected to bending using coda waves. The model involves the complex material behavior of reinforced concrete, from the linear-elastic range to the range of cracking and completed cracking.

The underlying methodology is based on mechanical, thermal and thermo-mechanical experiments on reinforced concrete beams. Ultrasonic measurements are evaluated using coda wave interferometry. This method yields the relative velocity change. The strain of the component is used as a reference. Investigations into the application, assembly and accuracy of strain measurement techniques reveal fiber optics as a suitable technique. Mutual influences of strain and temperature effects in fiber optic measurements were quantified. In this manner, strains are recorded quality-assured quasi-continuously along the fiber and provide detailed information on initial and later also progressive cracking.

The relative velocity change is correlated with the measured strain. The idea is based on the volume-like collection of influences by coda waves. Following this, the strain of the reinforcement is likewise averaged across a region. The correlation of the two respective quantities (relative velocity change and average steel strain) exhibits a linear relationship. This gives a first-order approach. Using this approach, the strain of the beam can be accurately calculated via the relative velocity change. Statistically, the model is of high quality ( $R^2 = 0.99$ ) and low error (RMSE  $\approx 0.09\%$ ). Consequently, it becomes feasible to monitor reinforced concrete structures by means of ultrasonic measurements and to accurately indicate the load-bearing capacity even under progressive cracking.



---

## Kurzfassung

---

Infrastrukturbauwerke altern. Um ihre Deterioration im Blick zu behalten, bieten sich Ultraschall Codawellen an. Sie erfassen sensitiv und zugleich integral Zustandsänderungen in großen Bereichen und eignen sich dadurch hervorragend zur Überwachung ganzer Strukturen. Aktuelle Ansätze zur codawellenbasierten Zustandsüberwachung fokussieren sich auf Probekörper in der Größe weniger Zentimeter oder die Erkennung von Rissen in Stahlbetontragwerken. Der in dieser kumulativen Dissertation vorgestellte empirische Ansatz ermöglicht es die Tragfähigkeit von biegebeanspruchten Stahlbetonstrukturen mit Ultraschall Codawellen zu bewerten. Der Ansatz berücksichtigt das komplexe Materialverhalten von Stahlbeton vom linear-elastischen Bereich über die beginnende Rissbildung bis hin zum abgeschlossenen Rissbild.

Die zugrunde liegende Methodik basiert auf mechanischen, thermischen und thermo-mechanischen Versuchen an Stahlbetonbalken. Die Ultraschallmessungen werden mit der Codawelleninterferometrie ausgewertet. Aus Zustandsänderungen resultiert die relative Geschwindigkeitsänderung. Als Referenz dient die Dehnung des Bauteils. In Untersuchungen zur Anwendung, Montage und Genauigkeit von Dehnungsmesstechniken wird die Faseroptik als geeignet nachgewiesen. Gegen seitige Beeinflussungen von Dehnungs- und Temperatureinflüssen in faseroptischen Messungen wurden quantifiziert. Dehnungen werden auf diese Weise qualitätsgesichert, quasi-kontinuierlich entlang einer Faser aufgenommen und liefern genaue Informationen über die beginnenden und später auch fortschreitende Rissbildung.

Die relative Geschwindigkeitsänderung wird mit der gemessenen Dehnung in Korrelation gesetzt. Die Idee basiert auf der volumenartigen Akkumulation von Einflüssen durch Codawellen. Inspiriert davon, wird die Dehnung des Bewehrungsstahls bereichsweise zusammengefasst. Die Korrelation der beiden Größen (relative Geschwindigkeitsänderung und mittlere Bauteildehnung) zeigt einen linearen Zusammenhang. Daraus folgt ein Ansatz erster Ordnung, mit dessen Hilfe die Dehnung des Bauteils über die relative Geschwindigkeitsänderung treffend vorausgesagt werden kann. Statistisch weist das Modell eine hohe Güte ( $R^2 = 0.99$ ) und einen geringen Fehler ( $RMSE \approx 0.09\%$ ) auf. Praktisch ist es so möglich, Stahlbetonstrukturen mithilfe von Ultraschallmessungen zu überwachen und auch unter fortschreitender Rissbildung die Tragfähigkeit stets genau anzugeben.



---

# Preamble

---

This thesis was written between 2019 and 2022 during my work as a research assistant at the Institute of Concrete Structures at Ruhr University Bochum. It was accepted as a Ph.D. thesis by the Department of Civil and Environmental Engineering of Ruhr University Bochum.

First of all, I would like to express my gratitude to Prof. Dr.-Ing. habil. Peter Mark for giving me the opportunity to work at his institute and for his ongoing guidance, encouragement, and support. Thank you to Prof. Dr.-Ing. Christoph Gehlen and PD Dr. rer. nat. Ernst Niederleithinger for the invariably enriching cooperation within the research unit CoDA and for taking over the second and third opinions, respectively. Moreover, I would like to thank Prof. Dr. sc. techn. habil. Markus Knobloch for chairing the examination commission.

Special thanks go to Dr.-Ing. Mark Alexander Ahrens for the valuable exchange and the careful review of the manuscript. I would like to thank all colleagues at the Institute of Concrete Structures and at the Structural Testing Laboratory KIBKON for the pleasant time.

Lastly, I would like to express my deepest gratitude to my family and friends—my parents and my brother for their constant encouragement, Lukas for your interdisciplinary support, and especially you, Anna, for always having my back and promoting me in every situation in life.

Bochum, June 2022

Felix Clauß

Date of submission: February 24, 2022

Date of oral examination: June 15, 2022

1st referee: Prof. Dr.-Ing. habil. Peter Mark,  
Ruhr University Bochum, Germany

2nd referee: Prof. Dr.-Ing. Christoph Gehlen,  
Technical University of Munich, Germany

3rd referee: PD Dr. rer. nat. Ernst Niederleithinger,  
Federal Institute for Materials Research and Testing, Germany

4th referee: Prof. Dr. sc. techn. habil. Markus Knobloch,  
Ruhr University Bochum, Germany



---

# Contents

---

|  |     |
|--|-----|
| <b>Abstract</b>  | iii |
| <b>Preamble</b>  | vii |
| <b>Contents</b>  | ix  |
| <b>List of Publications</b>  | xv  |
| <b>1 Introduction</b>  | 1   |
| 1.1 Motivation . . . . .   | 1   |
| 1.2 Research Unit . . . . .  | 5   |
| 1.3 Objectives . . . . .   | 6   |
| 1.4 Outline . . . . .  | 7   |
| 1.5 Synopsis . . . . .   | 7   |
| 1.5.1 Framework of Investigations . . . . .  | 7   |
| 1.5.2 Comparative Evaluation of Strain Measurement Techniques . . . . .  | 9   |
| 1.5.3 Temperature Induction into RC Structures . . . . .   | 10  |
| 1.5.4 Thermo-Mechanical Impacts on Fiber Optic Measurements . . . . .  | 12  |
| 1.5.5 Comparison of Strain Fields and Mapped US Data . . . . .   | 13  |
| 1.5.6 Correlation of Strain and Velocity Change of Coda Waves . . . . .  | 15  |
| <b>2 A Comparative Evaluation of Strain Measurement Techniques in Reinforced Concrete Structures—A Discussion of Assembly, Application, and Accuracy</b> | 17  |
| 2.1 Introduction . . . . .   | 18  |
| 2.2 Underlying Principles of Strain Measurement Techniques . . . . .   | 19  |
| 2.2.1 Strain Gauges . . . . .  | 19  |
| 2.2.2 Fiber Optic Sensors . . . . .  | 19  |
| 2.2.3 Digital Image Correlation . . . . .  | 20  |
| 2.3 Experiments . . . . .  | 21  |
| 2.3.1 Tension Rod . . . . .  | 21  |
| 2.3.2 Four-Point Bending Test . . . . .  | 24  |

|          |   |           |
|----------|---|-----------|
| 2.4      | Comparison of Strain Measurement Techniques . . . . .   | 27        |
| 2.4.1    | Assembly and Application . . . . .  | 27        |
| 2.4.2    | Accuracy and Error Evaluation . . . . .   | 29        |
| 2.5      | Conclusions . . . . .   | 34        |
| <b>3</b> | <b>Temperature Induction into RC Structures</b>   | <b>37</b> |
| 3.1      | Einleitung . . . . .  | 38        |
| 3.2      | Methoden zur Temperaturinduktion . . . . .  | 39        |
| 3.2.1    | Auswahl der Methoden . . . . .  | 39        |
| 3.2.2    | Temperierte Wasser . . . . .  | 39        |
| 3.2.3    | Heizmatte . . . . .   | 40        |
| 3.2.4    | Infrarotstrahler . . . . .  | 41        |
| 3.2.5    | Peltier-Kühlung . . . . .   | 42        |
| 3.3      | Diskussion . . . . .  | 44        |
| 3.3.1    | Elektrische Leistung . . . . .  | 44        |
| 3.3.2    | Temperaturregelung . . . . .  | 44        |
| 3.3.3    | Temperaturübergang . . . . .  | 46        |
| 3.3.4    | Fixierung am Bauteil . . . . .  | 46        |
| 3.3.5    | Interaktion mit dem Bauteil und Verluste . . . . .  | 47        |
| 3.3.6    | Fazit . . . . .   | 47        |
| 3.4      | Anwendung: Erzeugung eines Temperaturgradienten . . . . .   | 48        |
| 3.4.1    | Versuchsaufbau und -durchführung . . . . .  | 48        |
| 3.4.2    | Versuchsergebnisse . . . . .  | 48        |
| 3.4.3    | Empfehlungen . . . . .  | 51        |
| 3.5      | Schlussfolgerung . . . . .  | 52        |
| <b>4</b> | <b>Thermo-Mechanical Experiments on Reinforced Concrete Beams—Assessing Thermal, Mechanical and Mixed Impacts on Fiber Optic Measurements</b> | <b>55</b> |
| 4.1      | Introduction . . . . .  | 56        |
| 4.2      | Fiber Optics . . . . .  | 57        |
| 4.3      | Experiments . . . . .   | 59        |
| 4.3.1    | Specimens . . . . .   | 59        |
| 4.3.2    | Sensor Placement and Installation . . . . .   | 60        |
| 4.3.3    | Test Set-Up and Experimental Procedure . . . . .  | 63        |
| 4.3.4    | General Results . . . . .   | 64        |
| 4.4      | Individual Impacts and Interaction . . . . .  | 65        |
| 4.4.1    | Preface to the Discussion . . . . .   | 65        |
| 4.4.2    | Mechanical Load . . . . .   | 66        |
| 4.4.3    | Thermal Load . . . . .  | 67        |
| 4.4.4    | Combined Thermo-Mechanical Load . . . . .   | 70        |
| 4.5      | Conclusions . . . . .   | 72        |

|   |            |
|---|------------|
| <b>5 Comparison of Experimentally Determined Two-Dimensional Strain Fields and Mapped Ultrasonic Data Processed by Coda Wave Interferometry</b> | <b>75</b>  |
| 5.1 Introduction . . . . .  | 76         |
| 5.2 Principles of Measuring Methods . . . . .   | 77         |
| 5.2.1 Strain Measurements . . . . .   | 77         |
| 5.2.2 Ultrasound . . . . .  | 79         |
| 5.3 Experiments . . . . .   | 81         |
| 5.3.1 Method of Investigation . . . . .   | 81         |
| 5.3.2 Test Set-Up . . . . .   | 82         |
| 5.3.3 Results . . . . .   | 84         |
| 5.4 Comparison of US Results and Strain Fields . . . . .  | 87         |
| 5.4.1 Non-Cracked to Slightly Cracked State . . . . .   | 87         |
| 5.4.2 Completed Crack Pattern and Increasing Crack Widening . . . . .   | 89         |
| 5.5 Conclusions . . . . .   | 91         |
| <b>6 Correlation of Load-Bearing Behavior of Reinforced Concrete Members and Velocity Change of Coda Waves</b>                                  | <b>93</b>  |
| 6.1 Introduction . . . . .  | 94         |
| 6.2 Methods . . . . .   | 96         |
| 6.2.1 Sensing Structures with Ultrasound . . . . .  | 96         |
| 6.2.2 Load-Bearing Behavior of Flexural RC Members . . . . .  | 98         |
| 6.3 Experiments . . . . .   | 101        |
| 6.3.1 Experimental Setup . . . . .  | 101        |
| 6.3.2 Placement of Measuring Equipment . . . . .  | 102        |
| 6.3.3 Concreting and Curing . . . . .   | 103        |
| 6.3.4 Load Control . . . . .  | 103        |
| 6.3.5 Proof of Concept . . . . .  | 104        |
| 6.4 Results and Discussion . . . . .  | 105        |
| 6.4.1 Development of the Relative Velocity Change with Time and Load . . . . .  | 105        |
| 6.4.2 Establishing a Correlation Function . . . . .   | 107        |
| 6.4.3 Impact of the Transducer Distance . . . . .   | 108        |
| 6.5 Conclusions . . . . .   | 109        |
| <b>7 Supplement: Fiber Optic Sensing of Strain and Temperature Fields</b>   | <b>111</b> |
| 7.1 Einleitung . . . . .  | 112        |
| 7.2 Grundlagen der faseroptischen Messung . . . . .   | 113        |
| 7.2.1 Messprinzipien . . . . .  | 113        |
| 7.2.2 Sensorfasern . . . . .  | 114        |
| 7.2.3 Applikation . . . . .   | 115        |
| 7.2.4 Randbedingungen . . . . .   | 118        |
| 7.3 Quasikontinuierliche Messsysteme mittels Rayleigh-Rückstreuung . . . . .  | 119        |
| 7.3.1 Funktionsweise und Eigenschaften . . . . .  | 119        |

|          |   |            |
|----------|---|------------|
| 7.3.2    | Grenzen der Auflösung . . . . .   | 120        |
| 7.4      | Anwendungen . . . . .   | 121        |
| 7.4.1    | Allgemeines . . . . .   | 121        |
| 7.4.2    | Dehnungsmessungen an Ankerschienen . . . . .  | 121        |
| 7.4.3    | Temperaturmessungen in Betonbauteilen . . . . .   | 123        |
| 7.5      | Schlussfolgerungen . . . . .  | 125        |
| <b>8</b> | <b>Supplement: Strengthening of Reinforced Concrete Structures with Temperature Induction</b>       | <b>127</b> |
| 8.1      | Einleitung . . . . .  | 128        |
| 8.2      | Methode der Temperaturinduktion . . . . .   | 130        |
| 8.2.1    | Theoretische Grundlagen . . . . .   | 130        |
| 8.2.2    | Momentensteuerung durch Temperaturinduktion . . . . .   | 131        |
| 8.2.3    | Technische Umsetzung . . . . .  | 132        |
| 8.3      | Temperaturinduktion bei Tragwerksverstärkungen . . . . .  | 133        |
| 8.4      | Experimentelle Untersuchungen . . . . .   | 134        |
| 8.4.1    | Versuchsziel . . . . .  | 134        |
| 8.4.2    | Versuchsaufbau . . . . .  | 134        |
| 8.4.3    | Versuchsablauf . . . . .  | 136        |
| 8.4.4    | Ergebnisse . . . . .  | 138        |
| 8.5      | Diskussion der Ergebnisse . . . . .   | 141        |
| 8.6      | Schlussfolgerungen . . . . .  | 142        |
| <b>9</b> | <b>Supplement: Damage Detection at a Reinforced Concrete Specimen with Coda Wave Interferometry</b> | <b>145</b> |
| 9.1      | Introduction . . . . .  | 146        |
| 9.2      | Ultrasound Methods . . . . .  | 147        |
| 9.2.1    | Basics . . . . .  | 147        |
| 9.2.2    | Diffusion Approximation . . . . .   | 148        |
| 9.2.3    | Sensitivity Kernel . . . . .  | 149        |
| 9.2.4    | Imaging with an Inverse Problem . . . . .   | 149        |
| 9.2.5    | Imaging with Influence Areas . . . . .  | 150        |
| 9.3      | Experiment . . . . .  | 150        |
| 9.4      | Results . . . . .   | 153        |
| 9.4.1    | Decorrelation Investigations on Selected Measurement Pairs . . . . .                                | 153        |
| 9.4.2    | CWI Damage Localization . . . . .   | 154        |
| 9.5      | Discussion . . . . .  | 158        |
| 9.5.1    | Overall Discussion with an Outlook to General Improvements . . . . .                                | 158        |
| 9.5.2    | Crack Detection and Related Challenges . . . . .  | 158        |
| 9.5.3    | Comparison of Imaging Approaches . . . . .  | 159        |
| 9.6      | Conclusion . . . . .  | 159        |

|  |            |
|--|------------|
| <b>10 Conclusions</b>                  | <b>161</b> |
| <b>A Work Share in Publications</b>    | <b>165</b> |
| <b>B Complementary Test Data</b>       | <b>169</b> |
| B.1 Initial Remarks . . . . .          | 169        |
| B.2 Specimen 1 . . . . .               | 169        |
| B.3 Specimen 2 . . . . .               | 175        |
| B.4 Specimens 3 & 4 . . . . .          | 177        |
| B.4.1 Mechanical Test . . . . .        | 177        |
| B.4.2 Thermal Test . . . . .           | 178        |
| B.4.3 Thermo-Mechanical Test . . . . . | 182        |
| <b>Bibliography</b>                    | <b>185</b> |



---

# List of Publications

---

- Chapter 2 CLAUB, F.; AHRENS, M. A. and MARK, P. *A Comparative Evaluation of Strain Measurement Techniques in Reinforced Concrete Structures—A Discussion of Assembly, Application, and Accuracy.* Structural Concrete, 2021. 22(5): pp. 2992–3007. doi: 10.1002/suco.202000706.
- Chapter 3 CLAUB, F.; LÖSCHMANN, J.; AHRENS, M. A. and MARK, P. *Temperaturinduktion in Betontragwerke – Experimentelle Untersuchungen zur Methode.* Beton- und Stahlbetonbau, 2021. 116(7): pp. 539–550. doi: 10.1002/best.202100010.
- Chapter 4 CLAUB, F.; AHRENS, M. A. and MARK, P. *Thermo-Mechanical Experiments on Reinforced Concrete Beams—Assessing Thermal, Mechanical and Mixed Impacts on Fiber Optic Measurements.* Submitted to Structural Concrete in December, 2021.
- Chapter 5 CLAUB, F.; EPPLER, N.; AHRENS, M. A.; NIEDERLEITHINGER, E. and MARK, P. *Comparison of Experimentally Determined Two-Dimensional Strain Fields and Mapped Ultrasonic Data Processed by Coda Wave Interferometry.* Sensors, 2020. 20(14): 4023. doi: 10.3390/s20144023.
- Chapter 6 CLAUB, F.; EPPLER, N.; AHRENS, M. A.; NIEDERLEITHINGER, E. and MARK, P. *Correlation of Load-Bearing Behavior of Reinforced Concrete Members and Velocity Change of Coda Waves.* Materials, 2022. 15(3): 738. doi: 10.3390/ma15030738.
- Chapter 7 KONERTZ, D.; LÖSCHMANN, J.; CLAUB, F. and MARK, P. *Faseroptische Messung von Dehnungs- und Temperaturfeldern.* Bauingenieur, 2019. 94(7/8): pp. 292–300. doi: 10.37544/0005-6650-2019-07-08-70.
- Chapter 8 LÖSCHMANN, J.; CLAUB, F. and MARK, P. *Verstärken von Stahlbetontragwerken mit Temperaturinduktion.* Beton- und Stahlbetonbau, 2020. 115(10): pp. 746–757. doi: 10.1002/best.202000038.
- Chapter 9 GRABKE, S.; CLAUB, F.; BLETZINGER, K.-U.; AHRENS, M. A.; MARK, P. and WÜCHNER, R. *Damage Detection at a Reinforced Concrete Specimen with Coda Wave Interferometry.* Materials, 2021. 14(17): 5013. doi: 10.3390/ma14175013.